

Starkniederschlagshöhen und -spenden gemäß KOSTRA-DWD-2010R

Auswertungszeitraum von 1951 - 2010, Januar - Dezember

Rasterfeld: 35015

Zeile: 35

Spalte: 15

Seite: 1/2

| Dauerstufe D | | Wiederkehrzeit T | | | | | | | | | | | | | | | | | |
|--------------|-----|------------------|------------|------|------------|------|------------|------|------------|------|------------|------|------------|------|------------|-------|------------|-------|------------|
| | | 1 a | | 2 a | | 3 a | | 5 a | | 10 a | | 20 a | | 30 a | | 50 a | | 100 a | |
| min | Std | mm | l / (s ha) | mm | l / (s ha) | mm | l / (s ha) | mm | l / (s ha) | mm | l / (s ha) | mm | l / (s ha) | mm | l / (s ha) | mm | l / (s ha) | mm | l / (s ha) |
| 5 | | 5,3 | 176,7 | 7,5 | 250,0 | 8,7 | 290,0 | 10,3 | 343,3 | 12,5 | 416,7 | 14,7 | 490,0 | 16,0 | 533,3 | 17,6 | 586,7 | 19,8 | 660,0 |
| 10 | | 8,3 | 138,3 | 11,1 | 185,0 | 12,7 | 211,7 | 14,7 | 245,0 | 17,5 | 291,7 | 20,3 | 338,3 | 21,9 | 365,0 | 24,0 | 400,0 | 26,8 | 446,7 |
| 15 | | 10,2 | 113,3 | 13,4 | 148,9 | 15,3 | 170,0 | 17,6 | 195,6 | 20,8 | 231,1 | 24,1 | 267,8 | 25,9 | 287,8 | 28,3 | 314,4 | 31,5 | 350,0 |
| 20 | | 11,5 | 95,8 | 15,1 | 125,8 | 17,2 | 143,3 | 19,8 | 165,0 | 23,3 | 194,2 | 26,9 | 224,2 | 28,9 | 240,8 | 31,6 | 263,3 | 35,1 | 292,5 |
| 30 | | 13,3 | 73,9 | 17,4 | 96,7 | 19,8 | 110,0 | 22,8 | 126,7 | 26,9 | 149,4 | 31,0 | 172,2 | 33,4 | 185,6 | 36,4 | 202,2 | 40,5 | 225,0 |
| 45 | | 14,8 | 54,8 | 19,5 | 72,2 | 22,3 | 82,6 | 25,7 | 95,2 | 30,5 | 113,0 | 35,2 | 130,4 | 37,9 | 140,4 | 41,4 | 153,3 | 46,1 | 170,7 |
| 60 | | 15,7 | 43,6 | 20,9 | 58,1 | 24,0 | 66,7 | 27,8 | 77,2 | 33,0 | 91,7 | 38,2 | 106,1 | 41,3 | 114,7 | 45,1 | 125,3 | 50,3 | 139,7 |
| 90 | | 17,1 | 31,7 | 22,6 | 41,9 | 25,9 | 48,0 | 29,9 | 55,4 | 35,4 | 65,6 | 40,9 | 75,7 | 44,2 | 81,9 | 48,2 | 89,3 | 53,7 | 99,4 |
| 120 | 2 | 18,2 | 25,3 | 24,0 | 33,3 | 27,3 | 37,9 | 31,5 | 43,8 | 37,3 | 51,8 | 43,0 | 59,7 | 46,4 | 64,4 | 50,6 | 70,3 | 56,3 | 78,2 |
| 180 | 3 | 19,9 | 18,4 | 26,0 | 24,1 | 29,5 | 27,3 | 34,0 | 31,5 | 40,0 | 37,0 | 46,1 | 42,7 | 49,7 | 46,0 | 54,1 | 50,1 | 60,2 | 55,7 |
| 240 | 4 | 21,2 | 14,7 | 27,5 | 19,1 | 31,2 | 21,7 | 35,8 | 24,9 | 42,1 | 29,2 | 48,5 | 33,7 | 52,2 | 36,3 | 56,8 | 39,4 | 63,1 | 43,8 |
| 360 | 6 | 23,1 | 10,7 | 29,8 | 13,8 | 33,7 | 15,6 | 38,6 | 17,9 | 45,3 | 21,0 | 52,0 | 24,1 | 55,9 | 25,9 | 60,8 | 28,1 | 67,5 | 31,3 |
| 540 | 9 | 25,2 | 7,8 | 32,3 | 10,0 | 36,4 | 11,2 | 41,6 | 12,8 | 48,7 | 15,0 | 55,8 | 17,2 | 59,9 | 18,5 | 65,1 | 20,1 | 72,2 | 22,3 |
| 720 | 12 | 26,8 | 6,2 | 34,2 | 7,9 | 38,5 | 8,9 | 43,9 | 10,2 | 51,3 | 11,9 | 58,6 | 13,6 | 62,9 | 14,6 | 68,4 | 15,8 | 75,7 | 17,5 |
| 1080 | 18 | 29,2 | 4,5 | 37,0 | 5,7 | 41,6 | 6,4 | 47,3 | 7,3 | 55,1 | 8,5 | 62,9 | 9,7 | 67,5 | 10,4 | 73,2 | 11,3 | 81,0 | 12,5 |
| 1440 | 24 | 31,1 | 3,6 | 39,2 | 4,5 | 44,0 | 5,1 | 49,9 | 5,8 | 58,0 | 6,7 | 66,2 | 7,7 | 70,9 | 8,2 | 76,9 | 8,9 | 85,0 | 9,8 |
| 2880 | 48 | 38,8 | 2,2 | 48,1 | 2,8 | 53,6 | 3,1 | 60,5 | 3,5 | 69,9 | 4,0 | 79,2 | 4,6 | 84,7 | 4,9 | 91,6 | 5,3 | 101,0 | 5,8 |
| 4320 | 72 | 44,1 | 1,7 | 54,2 | 2,1 | 60,1 | 2,3 | 67,6 | 2,6 | 77,6 | 3,0 | 87,7 | 3,4 | 93,7 | 3,6 | 101,1 | 3,9 | 111,2 | 4,3 |

Angaben in mm: Bemessungsniederschlagswerte h(n)

Angaben in l / (s ha): Regenspende R(n) mit $R(n) = h(n) \times 1,666667 / D[\text{min}]$

Toleranzbereiche:

+/- 10 % für $1 \text{ a} \leq T \leq 5 \text{ a}$

+/- 15 % für $5 \text{ a} < T \leq 50 \text{ a}$

+/- 20 % für $50 \text{ a} < T \leq 100 \text{ a}$

Datenbasis: KOSTRA-DWD-2010R des Deutschen Wetterdienstes. Die Regenspende wurde auf Basis des Bemessungsniederschlags zur jeweiligen Andauer berechnet.

Für die Richtigkeit und Aktualität der Angaben wird keine Gewähr übernommen. Erstellt 07/2022.

Starkniederschlagshöhen und -spenden gemäß KOSTRA-DWD-2010R

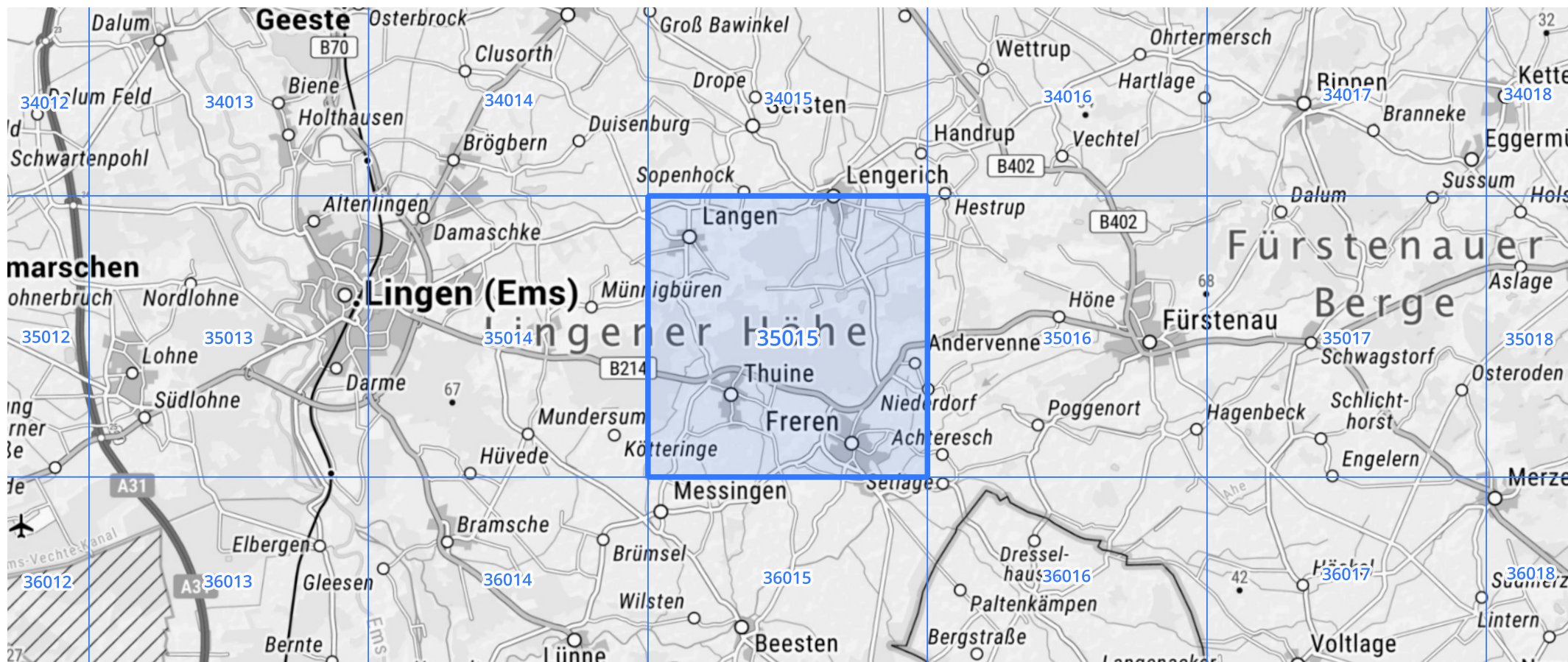
Auswertungszeitraum von 1951 - 2010, Januar - Dezember

Rasterfeld: 35015

Zeile: 35

Spalte: 15

Seite: 2/2



Quelle Rasterdaten: KOSTRA-DWD-2010R des Deutschen Wetterdienstes.

Kartendarstellung: © Bundesamt für Kartographie und Geodäsie (2022), Datenquellen: https://sgx.geodatenzentrum.de/web_public/gdz/datenquellen/Datenquellen_TopPlusOpen.html

Für die Richtigkeit und Aktualität der Angaben wird keine Gewähr übernommen. Erstellt 07/2022.